

اثر تغییرات در شاخصه‌های سامانه پاشش سوخت به منظور بهینه‌سازی عملکرد و آلاینده‌ها در موتورهای دیزلی تزریق مستقیم

عباس زارع نژاد اشکذری^۱، علیرضا حسین نژاد^{*۲}، سعید فراحت^۳

nezhadd@hamoon.usb.ac.ir

۱- دانشجوی دکتری مهندسی مکانیک، دانشگاه سیستان و بلوچستان

۲- دانشیار گروه مهندسی مکانیک، دانشگاه سیستان و بلوچستان

۳- استاد گروه مهندسی مکانیک، دانشگاه سیستان و بلوچستان

چکیده

پارامترهای سیستم پاشش سوخت، نقش پسزایی را در فرآیند احتراق و در نتیجه مصرف سوخت و آلاینده‌های خروجی دارند. به همین دلیل در این مطالعه، بطور جامع با اعمال تغییرات در شاخصه‌های مختلف سیستم پاشش سوخت نظیز زمان شروع و بازه تزریق سوخت، هندسه نازل، تعداد و قطر سوراخ نازل و همچنین زاویه و فشار پاشش سوخت، به بررسی بهینه عملکرد و آلاینده‌ها در یک موتور دیزلی تزریق مستقیم پرداخته شده و در نهایت بهینه‌ترین حالت ممکن از دیدگاه کاهش آلاینده‌ها و همچنین کاهش مصرف سوخت، بیان شده است. برای ارزیابی نتایج حاصل از شبیه سازی، مقدار بیشینه فشار تجربی و زاویه رخداد آن با مقدار حاصل از حل عددی مقایسه شده است. در کنار این پارامتر، مقدار تجزیی آلاینده‌های NO_x و soot همچنین مصرف سوخت ویژه ترمزی، با مقدار تئوری مقایسه شده است. این مقایسه‌ها نشان می‌دهند که تطابق خوبی بین نتایج حاصل از حل عددی و نتایج تجربی وجود دارد.

وازگان کلیدی : تزریق سوخت، آلایندگی، مصرف سوخت.

۹۴/۱۲/۰۴

تاریخ دریافت مقاله :

۹۵/۰۱/۱۷

تاریخ پذیرش مقاله :

شوندو و همکاران [۲]، تاثیر زوایای مختلف اسپری سوخت را بر روی آلاینده‌های خروجی بررسی کردند. آنها دو نازل با زاویه اسپری ۱۲۵ و ۱۴۰ درجه مورد بررسی قرار دادند. نتایج نشان داد که در بارهای زیاد اثر زاویه اسپری روی آلاینده‌های NO_x و $soot$ کمتر است ولی در بار کم قابل توجه است.

پنگ و همکاران [۴]، در سال ۲۰۱۲ با استفاده از مدل‌سازی CFD تاثیرات تایمینگ‌های مختلف تزریق سوخت را بر روی فرآیند احتراق و آلاینده‌های خروجی در یک موتور دیزلی ستگین بررسی کردند. آن‌ها با استفاده از کد دینامیک سیالاتی FIRE تایمینگ‌های مختلف تزریق را مدل‌سازی نمودند. نتایج بیانگر افزایش فشار بیشینه احتراق و آلاینده NO_x تولیدی با افزایش آوانس تزریق سوخت بود. در این مقاله بطور جامع با اعمال تغییرات در شاخصه‌های مختلف سیستم پاشش سوخت نظیز زمان شروع و بازه تزریق سوخت، هندسه نازل، تعداد و قطر سوراخ نازل و همچنین زاویه و فشار پاشش سوخت، به بررسی بیشینه عملکرد و آلاینده‌ها در یک موتور دیزلی تزریق مستقیم پرداخته شده و در نهایت بهینه‌ترین حالت ممکن از دیدگاه کاهش آلاینده‌ها و همچنین کاهش مصرف سوخت، بیان شده است.

۲- مدل سازی

موتور استفاده شده در این تحقیق، یک موتور دیزلی تزریق مستقیم چهار زمانه است. مشخصات اصلی و شرایط عملکردی موتور در جدول (۱) آمده است.

به منظور مدل سازی سه بعدی، در ابتدا یک سیلندر موتور در نرم‌افزار SolidWorks مدل گردید. سپس با توجه به استراتژی که برای ایجاد شبکه در نرم افزار FIRE درنظر گرفته شده، نیاز به ایجاد یک شبکه سطحی از مدل است.

جدول (۱) مشخصات موتور مورد بررسی.

دیزلی پاشش مستقیم، جهار زمانه	نوع موتور
۵	تعداد سیلندر
.۱۶.	قطر پیستون (m)
.۲۴.	کورس پیستون (m)
۱۵/۵ : ۱	نسبت تراکم
۱۲۰۰	دور موتور (rpm)
۹/۶	سرعت متوسط پیستون (m/s)

۱- مقدمه

سیستم سوخت رسانی یکی از سیستم‌های اصلی و تاثیر گذار بر عملکرد بهیته موتور است که وظیفه آن تامین سوخت مورد نیاز و تزریق آن به درون محفظه احتراق است. در یک سیستم سوخت رسانی اهم پارامترهای تزریق سوخت عبارتند از: زمان بندی تزریق سوخت، طول تزریق و منحنی نرخ تخلیه، فشار تزریق، تزریق پایلوت، تزریق ثانویه، تزریق چند مرحله‌ای، هندسه نازل و کنترل پذیری. پارامترهای مذکور بر ساختار و مشخصات اسپری از جمله توزیع اندازه قطرات، نفوذ اسپری، زاویه اسپری و فرآیند احتراق تاثیر می‌گذارند. میزان مصرف سوخت، تولید ذرات معلق، NO_x و سر و صدای احتراق، شدیداً بستگی به فرآیند احتراق دارد. بتایرانی کنترل دقیق تزریق سوخت و تشکیل اسپری به منظور بهبود فرآیند احتراق ضروری است به منظور بهیته کردن آلاینده‌های NO_x و $soot$ بدون قربانی کردن مصرف سوخت، درک ارتباط بین پارامترهای تزریق سوخت و اینکه چگونه آنها بر فرآیند احتراق تاثیر می‌گذارند بسیار مهم است. لذا تحقیقات بسیار زیادی در این زمینه صورت گرفته است.

شیماضا و همکاران [۱]، اثر افزایش فشار تزریق و کاهش قطر سوراخ‌های نازل را بر روی آلاینده NO_x و $soot$ بررسی کردند. این دو اثر متجل بر اتمیزاسیون بهتر و مخلوط شدن بهتر سوخت و هوا از طریق بهبود نفوذ اسپری، ورود هوا به درون اسپری و برخورد اسپری با دیواره می‌شود. اما محدودیت‌هایی نیز برای افزایش فشار به علت مقاومت مواد و هزینه سیستم سوخت رسانی وجود دارد.

ریتز و همکاران [۲] اثر فشار تزریق، شرایط ورودی نازل (لبه تیز و لبه گرد) و زاویه اسپری نازل را روی NO_x و $bsfc$ بررسی کردند. آزمایشات بر روی یک موتور تک سیلندر در دور ۱۶۰۰ rpm و در بارهای ۷۵ درصد و ۲۵ درصد صورت گرفت. نتایج حاصل در بار ۷۵ درصد نشان داد که آلاینده $soot$ با افزایش فشار تزریق افزایش می‌یابد. اما با افزایش فشار تزریق از ۹۰ تا ۱۶۰ مگاپاسکال، برای اینکه مقدار NO_x ثابت بماند، باید زمان تزریق ریتارد شود در نتیجه $bsfc$ ۱ الی ۲ درصد افزایش می‌یابد. همچنین آنها نشان دادند که نازل‌های لبه تیز آلاینده $soot$ کمتر و $bsfc$ کمتری در فشارهای پایین ایجاد می‌کنند و نازل‌های لبه گرد $bsfc$ پایین‌تری را ایجاد می‌کنند.

به این عمل اصطلاحاً بروزرسانی (Rezoning)، می‌گویند. بروزرسانی شبکه به دلیل اینکه در شکل سلول‌ها در حین حرکت شبکه اعوجاج ایجاد می‌شود و استفاده از شبکه با کفیت بهتر، باعث بالا بردن سرعت محاسبات می‌شود، امری اجتناب ناپذیر است. بتایراین فواصلی که شبکه بایستی Rezone شود نیز مشخص می‌شود. در فواصل هر 20° درجه میل لنگ شبکه Rezone می‌شود و در ادامه شبکه به صورت خودکار تولید می‌شود. در نهایت شبکه ایجاد شده برای حل مساله در FIRE فراخوانی می‌شود.

۳- معادلات حاکم

۳-۱- معادلات اساسی

معادلات اساسی که بقای جرم، مومنتوم و انرژی را بیان می‌کنند به صورت زیر بیان می‌شوند:

معادله متوسط زمانی پایستاری جرم

$$\frac{\partial \bar{\rho}}{\partial t} + \frac{\partial (\bar{\rho} u_i)}{\partial x_i} = \bar{\rho}_{spray} \quad (1)$$

معادله متوسط زمانی مومنتوم

$$\frac{\partial (\bar{\rho} u_j)}{\partial x_i} + \frac{\partial (\bar{\rho} u_j u_i)}{\partial x_i} = - \frac{\partial \bar{p}}{\partial x_j} + \frac{\partial}{\partial x_i} \left(\bar{t}_{ij} - \bar{\rho} u_i' u_j' \right) + f_{j,spray} \quad (2)$$

$$\begin{aligned} \bar{t}_{ij} &= \left[\mu \left(\frac{\partial \bar{u}_i}{\partial x_j} + \frac{\partial \bar{u}_j}{\partial x_i} \right) - \delta_{ij} \frac{2}{3} \mu \frac{\partial \bar{u}_k}{\partial x_k} \right] + \mu \left(\frac{\partial \bar{u}_i'}{\partial x_j} + \frac{\partial \bar{u}_j'}{\partial x_i} \right) - \delta_{ij} \frac{2}{3} \mu \frac{\partial \bar{u}_k'}{\partial x_k} - \bar{\rho} u_i' u_j' \\ &= \mu \left(\frac{\partial \bar{u}_i}{\partial x_j} + \frac{\partial \bar{u}_j}{\partial x_i} \right) - \frac{1}{3} \mu \delta_{ij} \bar{u}_k' \bar{u}_k' \end{aligned} \quad (3)$$

عبارت چشمde در معادله (1) برابر دبی جرم سوخت دیزل پاشیده شده به درون محفظه احتراق می‌باشد. همچنین عبارت چشمde در معادله (2)، مومنتومی است که به وسیله افشاره سوخت به سیستم اضافه می‌شود. P فشار سیال است.

معادله متوسط زمانی انرژی

$$S_p \left(\frac{\partial (\bar{\rho} T)}{\partial t} + \frac{\partial (\bar{\rho} T u_i)}{\partial x_i} \right) = - \frac{\partial}{\partial x_i} \left(\bar{q}_i + C_p \bar{\rho} T' u_i' \right) + q_{comb} \quad (4)$$

$$\bar{q}_i = -\lambda \left(\frac{\partial \bar{T}}{\partial x_i} + \frac{\partial \bar{T}'}{\partial x_i} \right) \quad (5)$$

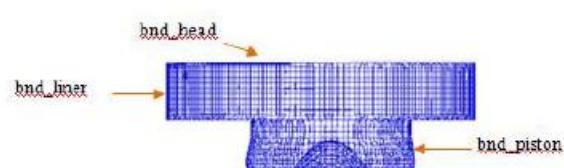
عبارت چشمde در معادله (4)، مربوط به گرمای آزادشده از احتراق است [5].

۲-۳- مدل انتقال گونه‌ها

این مدل، معادلات انتقال لازم برای گونه‌های شیمیایی در حالت فاز گازی و همچنین خواص فیزیکی گونه‌های

بنابر این شبکه ذکر شده در حالتی که پیستون در نقطه مرگ بالا قرار دارد، توسط نرم افزار ANSYS ICEM CFD تولید گردید. شبکه سطحی ایجاد شده در این مرحله، توسط نرم افزار FIRE فراخوانی می‌شود. در مراحل بعدی مدل‌سازی هندسه سه بعدی پیچیده موتور و ایجاد شبکه متحرک با استفاده از ابزار شبکه‌بندی FEP انجام می‌شود. با توجه به اینکه تحلیل به صورت سوپاپ بسته یعنی از لحظه بسته شدن سوپاپ ورودی (240°) تا لحظه باز شدن سوپاپ خروجی (478°) انجام می‌گیرد، لذا دامنه محاسباتی مدل که شامل سیلتدر می‌باشد به سریلتدر، بوش سیلتدر و کاسه پیستون تقسیم می‌شود. در واقع یک شبکه سطحی شامل سیلتدر را برای تولید شبکه متحرک در کورس تراکم و انبساط در نظر می‌گیریم. اکنون باید سطوح مرزی با اسمی مناسب، برای اعمال شرایط مرزی انتخاب گردد. در مورد موتور مورد نظر، این نواحی بر روی شبکه نهایی در شکل (1) نشان داده شده است.

برای ایجاد شبکه متحرک به ابزار FEP رجوع می‌کنیم. در این ابزار پارامترهای قسمت متحرک را که شامل پیستون می‌باشد، وارد می‌کنیم. با داشتن طول شاتون و کورس، حرکت پیستون شبیه سازی می‌شود. در کارکرد واقعی موتور، پیستون حرکت می‌کند، بتایراین برای شبیه‌سازی تغییرات موقعیت پیستون نسبت به زاویه لنگ، شبکه نیز باید با این حرکت متنطبق شود. برای این منظور جهت حفظ کیفیت شبکه، در زوایای خاصی دو شبکه با تعداد سلول متفاوتی ایجاد می‌شود. در این زوایا اطلاعات متغیرهای جریان که در شبکه اولیه محاسبه شده است به شبکه دوم، برای محاسبات بعدی منتقل می‌شود. شرایط مرزی اعمال شده در جدول (2) آورده شده است.



شکل (1) سطوح و حجم‌های انتخاب شده به همراه شرایط مرزی.

جدول (2) شرایط اولیه و شرایط مرزی اعمال شده.

Name of B.C.	Type of B.C.
bnd_head	Wall – T=500[K]
bnd_liner	Wall – T=450[K]
bnd_piston	Wall – Mesh Movement T=450[K]

۳-۳- مدل احتراقی کنترلی آشفته

یکی از مدل‌های احتراق موجود در FIRE مدل احتراقی کنترلی اختلاط آشفته است که توسط مگنسن توصیف شده است. در این مدل فرض می‌شود که در شعله‌های آشفته پیش‌آمیخته، واکنش‌گرها (سوخت و اکسیژن)، ادی‌های مشابهی داشته و مجزا از ادی‌هایی که محصولات داغ را در بر می‌گیرند، هستند. واکنش‌های شیمیایی معمولاً مقیاسی زمانی دارند که در مقایسه با مشخصات فراینددهای انتقال آشفته خیلی کوتاه هستند. بنابراین می‌توان فرض نمود که نرخ احتراق توسط نرخ آمیختگی در مقیاس مولکولی ادی‌هایی که شامل واکنش‌گرها و محصولات داغ هستند، به عبارت دیگر توسط نرخ اضمحلال این ادی‌ها تعیین می‌شود. بنابراین نرخ میانگین واکنش را می‌توان مطابق مدل مگنسن، به صورت زیر نوشت [۸]:

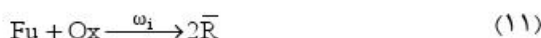
$$\overline{\rho \dot{x}_{\text{fu}}} = \frac{C_{\text{fu}}}{\tau_R} \bar{\rho} \min \left(\bar{y}_{\text{fu}}, \frac{\bar{y}_{\text{O}_x}}{S}, \frac{C_{\text{Pr}} \bar{y}_{\text{Pr}}}{1+S} \right) \quad (10)$$

دو عبارت اول عملگر "min(...)"، به سهولت مشخص می‌کند که آیا سوخت یا اکسیژن در محدوده مقدار آن وجود دارد، و عبارت سوم، احتمال وجود واکنش است به طوری که اطمینان می‌دهد که شعله در عدم حضور محصولات داغ، گسترش نمی‌یابد. C_{Pr} و C_{fu} ضرایب تجربی هستند و τ_R مقیاس زمانی اختلاط آشفته واکنش است. محدوده ثابت C_{fu} بین ۳ تا ۲۵ می‌باشد و مطابق با داده‌های تجربی موتور باید تنظیم شود. افزایش در این ثابت باعث تقویت شدت آهنج واکنش آشفته می‌شود. ثابت C_{Pr} نباید به طور دلخواه تغییر داده شود. مقدار پیشنهاد شده آن برای موتورهای اشتعال تراکمی برابر ۱ است [۹].

۴-۳- مدل اشتعال خودبخودی

در کار حاضر از مدل هاستد و همکارانش جهت خوداشتعالی سوخت استفاده شده است. این مدل، شیمی دما پایین سوخت‌های هیدروکربنی را تشریح می‌کند تا بتواند زمان تاخیر در اشتعال در موتورهای دیزلی را به دقت پیش‌بینی کند. این مدل یک مکانیزم سینتیکی کاوش یافته شامل ۵ گونه و ۸ واکنش عمومی را به کار می‌گیرد تا پدیده خوداشتعالی سوخت‌های هیدروکربنی را شبیه سازی کند که به صورت زیر است:

واکنش آغازی (Initiation):



شیمیایی و مخلوط‌های گازی را در ناحیه محاسباتی فراهم می‌کند. معادله انتقال گونه را می‌توان به شکل شناخته شده زیر نوشت

$$\begin{aligned} \frac{\partial}{\partial t} (\rho y_k) + \frac{\partial}{\partial x_i} (\rho (U_i - U_{\delta i}) y_k) \\ = \frac{\partial}{\partial x_i} \left(\Gamma_{y_k}^{\text{ii}} \frac{\partial y_k}{\partial x_i} \right) + S_{y_k}, k = 1 \dots k_{\text{gas}} \end{aligned} \quad (6)$$

که در آن y_k کسر جرمی گونه شیمیایی و k_{gas} مجموع تعداد گونه‌های شیمیایی است. در مدل انتقال گونه‌ها Γ_{y_k} به صورت زیر تعریف می‌شود:

$$\Gamma_{y_k} = \left(\rho D_{k,m} + \frac{\mu_t}{S c_t} \right) \quad (7)$$

که در معادله فوق $S c_t$ عدد اشمت آشفته با پیش فرض $1/7$ و $D_{k,m}$ $[m^2/s]$ ضریب نفوذ گونه k در مخلوط است. منبع جرمی نیز به صورت زیر تعریف می‌شود:

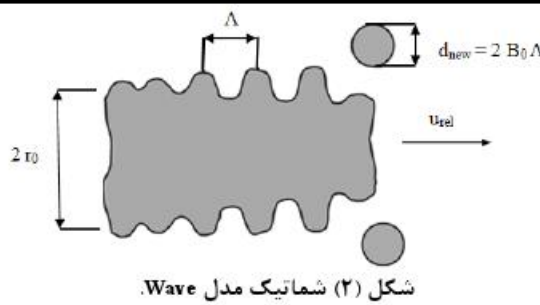
$$S_{y_k} = \dot{r}_k M_k V_{\text{cell}} \quad (8)$$

در این معادله \dot{r}_k $[kmol/m^3 s]$ برابر با آهنج واکنش گونه k ام، M_k $[kmol/kg]$ جرم مولکولی گونه k ام و V_{cell} $[m^3]$ حجم سلول محاسباتی است. برای کاهش تعداد معادلات، مقادیر بدون بعد برای بیان سیستم واکنشی یا به عبارتی کسر جرمی، تعریف می‌شوند [۶]:

$$\begin{aligned} y_{\text{fu}} &= \frac{m_{\text{fu,a}}}{m_{\text{tot}}}, & f &= \frac{m_{\text{fu,a}} + m_{\text{fu,b}}}{m_{\text{tot}}} \\ g &= \frac{m_{\text{rg}}}{m_{\text{oxid}}}, & m_{\text{oxid}} &= m_{\text{air}} + m_{\text{rg}} \end{aligned} \quad (9)$$

y_{fu} برابر است با نسبت جرم سوخت نسوخته ($m_{\text{fu,a}}$ ، به جرم کل مخلوط (m_{tot})، است. همچنین کسر مخلوط (f)، برابر با مجموع جرم سوخت سوخته شده ($m_{\text{fu,b}}$) و سوخت نسوخته برو جرم کل مخلوط تعریف می‌شود و برای محاسبات گونه‌های فعال گازهای باقی مانده از سیکل قبلی، کسر جرمی گاز باقیمانده (g ، به صورت نسبت جرم (m_{rg}) گازهای باقیمانده (m_{oxid}) به جرم اکسیدکننده (m_{oxid}) تعریف می‌شود.

حل معادله‌های انتقال برای مقادیر متوسط وزنی y_{fu} و f بیانگر سیستم واکنش‌گر شیمیایی می‌باشد. در اینجا سیستم شامل سوخت C_nH_m , CO_2 , O_2 , H_2O و N_2 است. با در نظر گرفتن اینکه n و m بیانگر تعداد اتم‌های کربن و هیدروژن در مولکول سوخت می‌باشند و جرمی مولی گونه‌های شیمیایی توسط M_{fu} , M_{O_2} , M_{CO_2} و $M_{\text{H}_2\text{O}}$ بیان می‌شوند، مشخص کردن نرخ متوسط واکنش ρr_{fu} نخستین هدف مدل‌سازی احتراق می‌باشد [۷].



شکل (۲) شماتیک مدل Wave.

$$r_{stable} = C_1 \Delta \quad (21)$$

زمان متلاشی شدن جت سوختی نیز به صورت زیر است:

$$\tau = \frac{3.726 C_2 r}{\Delta \cdot \Omega} \quad (22)$$

در حالت کلی آهنج کاهش شعاع قطره به صورت زیر می‌باشد:

$$\frac{dr}{dt} = -\frac{(r - r_{stable})}{\tau} \quad (23)$$

در نرم افزار FIRE به جز ثابت‌های دو معادله بالا (C_1 و C_2)، ثابت C_3 نیز وجود دارد که در کار حاضر ثابت‌ها بدین صورت تنظیم شده‌اند:

مقدار در نظر گرفته شده برای C_1 بر طبق توصیه ریتز و همکاران برابر 0.61 ± 0.01 است [۱۱].

ثابت C_2 تاثیر جریان داخل سوراخ نازل، مانند آشفتگی و طراحی نازل را به حساب می‌آورد و از یک انژکتور به انژکتور دیگر تغییر می‌کند و به سطح آشفتگی اولیه در فرایند تجزیه مایع وابسته است. این ثابت برابر 12 فرض شده است که محدوده آن بین 5 تا 60 می‌باشد. هر چه قدر این ثابت کمتر باشد زمان اتمیزاسیون جت سوخت و طول تزریق کوتاه‌تر می‌شود. ثابت C_3 نیز تاثیرات لزجت سوخت را در نظر می‌گیرد. اگر یک انتخاب شود، تاثیر لزجت سوخت در محاسبات وارد می‌شود و اگر صفر انتخاب شود، تاثیر لزجت سوخت به حساب نمی‌آید. از این جهت این ثابت برابر 1 در نظر گرفته شده است [۱۲].

۳-۶-۳- مدل انتقال گرما و تبخیر قطرات سوخت
برای گرمایش قطرات و تبخیر آن‌ها از مدل دوکویز استفاده شده‌است. این مدل بیان می‌دارد که با در نظر گرفتن وجود دمای یکتواخت به ازای تغییر قطر قطره، تغییرات دمایی توسط معادله تعادل گرمایی بدست می‌آید. به عبارت دیگر بیانگر این مطلب است که انرژی گرمایی انتقال یافته به قطره موجب افزایش دمای قطره و در نهایت تبخیر آن می‌شود.

واکنش انتشار (Propagation):



واکنش شاخه‌داری (Branching):



واکنش خاتمه مرحله اول (Linear Termination):



واکنش خاتمه مرحله دوم (Quadratic Termination):



در معادلات فوق \bar{R} ، نشان‌دهنده رادیکال، F_u نشان‌دهنده سوخت، Q یک عامل میانی، B عامل شاخه‌داری، I نشان‌دهنده گونه‌های میانی غیرفعال و P محصولات اکسید شده را نشان می‌دهد. ω_i ها، نرخ واکنش‌ها است. ضرایب نرخ متحصر به فرد ظاهر شده در ω_i ها، شکل آرنیوسی رایج را به خود می‌گیرد.

$$k_i = A_i e^{-E_{a,i}/(RT)} \quad (19)$$

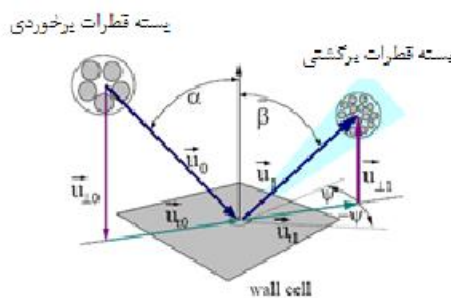
به عنوان نمونه در واکنش معادله (۱۲)، تشکیل از سه آهنج مجزا ترکیب شده است:

$$k_p = \frac{1}{\frac{1}{k_{p1}[Ox]} + \frac{1}{k_{p2}} + \frac{1}{k_{p3}[Fu]}} \quad (20)$$

که $[]$ نشان‌دهنده غلظت مولکولی، $[kmol/m^3]$ و k_{p1} و k_{p2} و k_{p3} ضرایب آهنج مرحله انتشار است [۱۰].

۳-۵- مدل اتمیزاسیون افسانه سوخت

برای مدلسازی توزیع و پخش قطرات جت سوخت از مدل Wave استفاده شده است. در این مدل فرض بر این است که به دلیل آشفتگی جریانی که درون سوراخ نازل انژکتور وجود دارد، طیفی از موج‌های سیتوسی با نوسانات محوری بیتهاست کوچک در سطح جت سوخت به وجود می‌آید. به دلیل نیروهای آیرودینامیکی که بر اثر سرعت نسبی بین جت سوختی مایع و گاز اطراف درون سیلندر به وجود می‌آید، موج‌های سطحی بوجود آمده رشد می‌کنند. همانگونه که در شکل (۲) مشاهده می‌شود، شعاع قطره جدید جدا شده از جت سوختی متناسب با طول موج‌های سطحی در سطح جت سوخت است.



شکل (۳) شماتیک برخورد قطرات جت سوخت به دیواره.

۸-۳- مدل آلاندنه NO_x
برای ارزیابی تشکیل اکسید نیتروژن حرارتی در FIRE از مکانیزم زلدوبویج توسعه یافته، استفاده می‌شود. این مکانیزم یک کاهش سیستماتیک شیمیایی چند مرحله‌ای بر اساس فرضیات تعادل جزئی واکنش‌های مقدماتی، می‌باشد.



از ضرب کردن طرف‌های راست و چپ معادلات بالا، واکنش کلی زیر به دست می‌آید:



بنابراین آهنگ تشکیل NO طبق رابطه زیر به دست می‌آید:

$$\frac{d[\text{NO}]}{dt} = 2k_f[\text{N}_2][\text{O}_2] \quad (32)$$

آهنگ واکنش نیز از رابطه زیر به دست می‌آید:

$$k_f = \frac{A}{\sqrt{T}} \cdot \exp\left(-\frac{E_a}{RT}\right) \quad (33)$$

که در آن A فاکتور پیش‌نمایی و E_a انرژی اکتیویاسیون است [۱۵]

۹-۳- مدل تشکیل و اکسیداسیون دوده
مدل تشکیل دوده که در FIRE استفاده شده است، مدل هیروپیاسو [۱۶] می‌باشد. این مدل بر اساس ترکیب مناسب آهنگ فیزیکی-شیمیایی که نشان دهنده به هم متصل شدن ذرات، رشد صفحه‌ای و اکسیداسیون است، می‌باشد. آهنگ تشکیل دوده کل، به صورت اختلاف بین دوده تشکیل شده و دوده اکسید شده مدل می‌شود:

$$\frac{dM_{soot}}{dt} = \frac{dM_{form}}{dt} - \frac{dM_{oxide}}{dt} \quad (34)$$

به طوریکه تشکیل دوده، عبارت است از:

$$m_a c_{pd} \frac{dT_d}{dt} = L \frac{dm_a}{dt} + \dot{Q} \quad (23)$$

شار گرمایی جابجایی \dot{Q} از گاز و محیط اطراف قطره بدین صورت است:

$$\dot{Q} = \alpha A_s (T_\infty - T_s) \quad (24)$$

که α ضریب انتقال حرارت جابجایی از فیلم دربرگیرنده قطره در غیاب انتقال جرم و A_s سطح قطره می‌باشد [۱۳].

۷-۳- مدل برخورد جت سوخت به دیواره

برای پیشگویی برخورد قطرات جت سوخت به دیواره، مدل Walljet درنظر گرفته شده است. بر طبق این مدل فرض می‌شود در شرایط کاری موتور، یک لایه بخار بین قطرات و دیواره تشکیل شده و پسته به عدد ویر قطره باعث برگشتی یا لنزیدن قطرات روی دیواره می‌شود.

معیار انتقال بین این دو رژیم عدد ویر بحرانی ۸۰ است. در کمتر از این حد، پدیده برگشت قطرات از دیواره را داریم که مولقه مماسی سرعت ثابت مانده ولی مولقه عمودی سرعت در جهت عکس قبلی و به صورت تابعی از عدد ویر قطره تغییر می‌کند. بالاتر از عدد ویر بحرانی، رژیم تشکیل جت دیواره را خواهیم داشت که سرعت بازتاب جت با فرض ثابت بودن مقدار آن و فقط تغییر زاویه انعکاس، به دست می‌آید. با توجه به شکل (۳)، زاویه انعکاس ($90 - \beta \square$) در محدوده $5 < \beta < 0$ تغییر می‌کند. جهت مماسی قطرات معنکس شده بر روی سطح با زاویه ψ که در محدوده $+180^\circ < \psi < 180^\circ$ تغییر می‌کند، تعیین می‌شود. این زاویه نیز توسط یکتابع توزیع احتمال تعیین می‌شود:

$$\psi = -\frac{\pi}{k} \ln[1 - p(1 - e^{-k})] \quad (25)$$

در این رابطه عدد تصادفی p بین ۰ و ۱ تغییر می‌کند و پارامتر k از رابطه زیر محاسبه می‌شود:

$$\sin \alpha = \frac{(e^k + 1)}{e^k - 1} \frac{1}{1 + (\frac{\pi}{k})^2} \quad (26)$$

اندازه قطرات پس از برخورد نیز، در عدد ویرهای مختلف به صورت زیر تغییر می‌کند:

$$\begin{cases} We < 50, & d_1 = d_0 \\ 50 \leq We \leq 300, & d_1 = d_0 \cdot f(We_{norm,in}) \\ We > 300, & d_1 = 0.2d_0 \end{cases} \quad (27)$$

که در آن $We_{norm,in}$ عدد ویر قطره قبل از برخورد است [۱۴]

جدول (۳) تعداد سلول‌های شبکه‌های محاسباتی.

TDC	تعداد سلول در شبکه
۲۵۵۰	۱
۲۳۵۸	۲
۱۸۰۴	۳

بدين صورت که بايستي به حالت رسيد که از آن به بعد با افزایش تعداد شبکه، اختلاف نتایج مشاهده نشود. در شکل (۴)، متحنی فشار نسبت به زاویه لنج برای سه شبکه محاسباتی ايجاد شده، آورده شده است.

همان طور که مشاهده می‌شود در منحنی فشار، دو حالت (۱) و (۲) رفتار نزدیکتری به مقادیر تجربی دارند و اختلاف اين دو حالت بسیار ناچیز است. در حالت (۳) پیک فشار اختلاف زیادی با مقدار تجربی دارد. لذا می‌توان از شبکه‌هایی که تعداد سلول آنها بین دو حالت (۱) و (۲) باشد، استفاده نمود. همچنین با توجه به اختلاف بسیار جزئی نتایج به دست آمده در گام‌های زمانی ۰/۲۵ و ۰/۰۵ و ۱ درجه میل لنج، برای کم کردن زمان محاسبات، گام زمانی ۱ درجه میل لنج همراه با شبکه محاسباتی با تعداد ۲۳۵۸ سلول در نقطه مرگ بالا (TDC)، به عنوان مدل اصلی انتخاب شده است. معیار همگرایی ۰/۰۰۱ و حداقل ۱۰ و حداکثر ۱۰۰ تکرار برای هر گام زمانی در نظر گرفته شده است.

۴-۲- اعتبار دهی به نتایج شبیه‌سازی شده
نتایج حاصل از شبیه سازی وقتی ارزش پیدا می‌کند که با نتایج آزمایشگاهی مقایسه شده باشد. در شبیه سازی احتراق لازم است که فشار داخل سیلندر و آلاینده‌های خروجی و مصرف سوخت ویژه با نتایج تجربی مقایسه شوند. در شکل (۵) متحنی فشار برای نتایج تجربی و عددی (حالت پایه) آورده شده است. همانطور که مشاهده می‌شود تطابق خوبی بین داده‌های تجربی و نتیجه حاصل از شبیه سازی عددی، حاصل شده است. لازم به ذکر است که شروع پاشش سوخت در حالت پایه برای موتور در ۱۶ درجه قبل از نقطه مرگ بالا اتفاق می‌افتد و مدت زمان تزریق سوخت هم ۱۸ درجه میل لنج می‌باشد. در جدول (۴) مقادیر تجربی آلاینده‌ها، مصرف سوخت ویژه ترمزی و توان ترمزی با مقادیر به دست آمده از شبیه‌سازی عددی مقایسه شده است. همان طور که ملاحظه می‌شود بین مقادیر تجربی و عددی، دزصد خطای ناچیزی وجود دارد.

$$\frac{dM_{form}}{dt} = A_f M_{fv} P^{0.5} \exp\left(-\frac{E_f}{RT}\right) \quad (35)$$

که در آن A_f فاکتور پیش‌نمایی، M_{fv} جرم بخار سوخت، P فشار و E_f انرژی اکتیوایسیون است. آهنگ اکسیداسیون دوده نیز بر طبق معادله زیر بدست می‌آید:

$$\frac{dM_{oxide}}{dt} = \frac{6MW_e}{P_e D_s} M_s R_{tot} \quad (36)$$

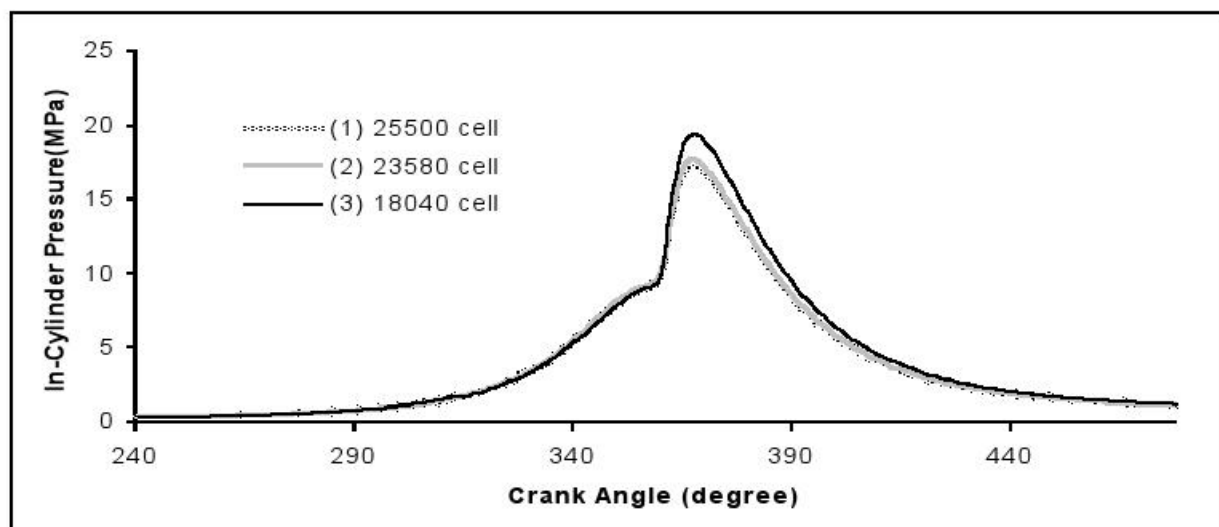
که در آن MW_e وزن مولکولی کربن، P_e چگالی دوده، D_s قطر میانگین دوده، M_s جرم دوده و R_{tot} آهنگ واکنش خالص است. آهنگ کاهش مخلوط قابل احتراق، متناسب با مقیاس زمانی واکنش است و براساس آهنگ مقدار محلی انرژی سینتیک آشفته و آهنگ اضمحلال آن تعیین می‌شود [۱۶]. محاسبات در بار کامل و دور حداکثر توان خروجی یعنی ۱۲۰۰ rpm برای موتور انجام شده است. شبیه‌سازی سه بعدی در FIRE با استفاده از الگوریتم SIMPLE انجام شد [۱۷]. نرم افزار FIRE مانند دیگر کدهای عمل کننده به روش حجم محدود، اقدام به گسترش‌سازی معادلات پیوستگی مومنتوم، جرم و انرژی به همراه مدلی برای آشفتگی نموده و بعد با الگوریتم تکراری اقدام به حل معادلات جبری حاصل می‌نماید.

۴- نتایج

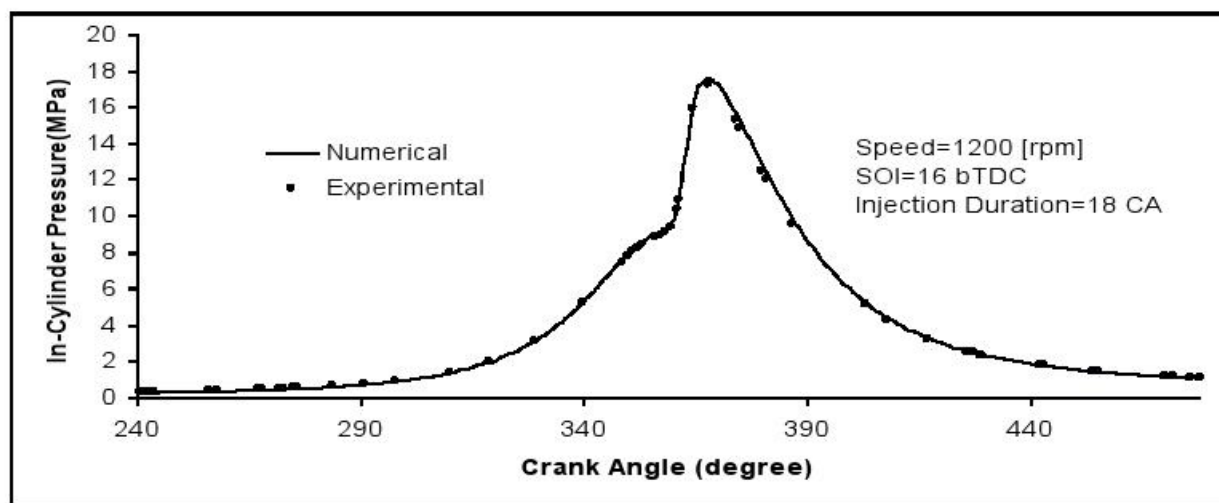
۴-۱- بررسی استقلال از شبکه

برای اطمینان از دقت نتایج شبیه‌سازی و کیفیت شبکه، باید شبکه محاسباتی تولیدی، از نظر استقلال از حل، مورد ارزیابی قرار گیرد. برای این منظور با تولید شبکه‌هایی با تعداد سلول‌های مختلف و مقایسه با نتایج تجربی، مناسب‌ترین شبکه از لحاظ تعداد سلول انتخاب شده است. مبنای استقلال از شبکه، نتایج حاصل از فشار داخل سیلندر است. به همین دلیل از سه شبکه محاسباتی مختلف استفاده شد. بیشته بعد سلول برای اولین، دومین و سومین شبکه محاسباتی به ترتیب ۱/۸، ۱/۹ و ۲ میلیمتر است.

تعداد سلول‌ها در TDC برای سه حالت در جدول (۳) آورده شده است. یکی از روش‌هایی که برای اطمینان از کافی بودن سلول‌های شبکه محاسباتی مرسوم است، مقایسه منحنی‌های فشار تجربی و عددی است. وقتی این تطابق به وجود آمد، در مرحله بعد بايستی مستقل بودن از تعداد شبکه را بررسی کیم.



شکل (۴) منحنی فشار بر حسب زاویه لنگ برای شبکه‌های محاسباتی مختلف.



شکل (۵) مقایسه منحنی فشار تجربی و عددی بر حسب زاویه لنگ برای دیزل خالص.

درجه زاویه لنگ می‌باشد. لازم به یادآوریست که تزریق سوخت در موتور دیزلی مورد بررسی، از ۱۶ درجه زاویه لنگ قبل از نقطه مرگ بالا شروع و تا ۲ درجه زاویه لنگ بعد از نقطه مرگ بالا ادامه می‌یابد. همانطورکه مشاهده می‌شود با افزایش آواتس تزریق سوخت، میزان فشار بیشتره داخل سیلندر افزایش می‌یابد. افزایش فشار بیشتره داخل سیلندر به نوبه خود باعث افزایش دمای بیشتره احتراق خواهد شد. از آنجایی که فرآیند شکل گیری آلاینده‌ها، به خصوص آلاینده‌ها NO_x به شدت تحت تاثیر دمای احتراق قرار دارد، تغییر در زمان بدی تزریق سوخت و به تبع آن تغییر در فشار و دمای احتراق، شکل گیری آلاینده‌ها را نیز تحت تاثیر قرار خواهد داد. شکل‌های (۷) و (۸) تغییرات

جدول (۴) مقایسه داده‌های تجربی و نتایج عددی.

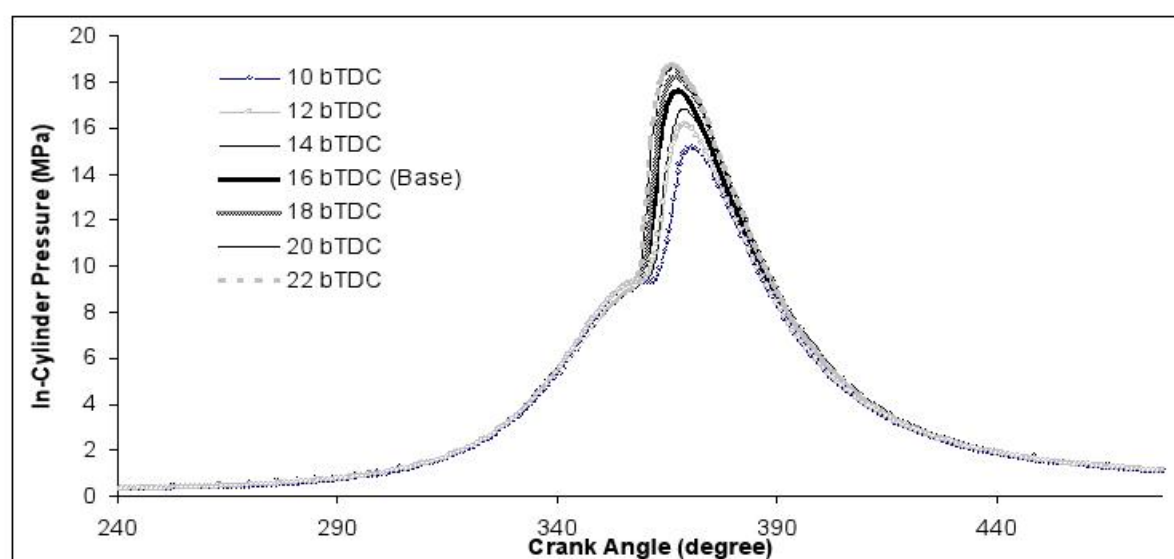
پارامترهای عملکردی و آلاینده‌ها	مقادیر تجربی	نتایج عددی
NO_x (gr/kW-hr)	۶/۱۰	۶/۲۴
Soot (gr/kW-hr)	۰/۶۷	۰/۶۲
B SFC (gr/kW-hr)	۸۰۰/۱۰۰	۸۲۰/۱۰۵
Brake Power (kW)	۷۶۴	۷۴۰

برای بررسی تاثیر زمان تزریق سوخت بر پارامترهای عملکردی موتور، در شکل (۶) اثر زمان‌های مختلف تزریق سوخت بر تغییرات فشار داخل سیلندر آورده شده است. برای این منظور، زمان‌های تزریق ۲۲، ۲۰، ۱۸، ۱۶، ۱۴ و ۱۰ درجه قبل از نقطه مرگ بالا، شبیه‌سازی شد. در تمام حالت‌ها، طول مدت تزریق بدون تغییر و برابر ۱۸

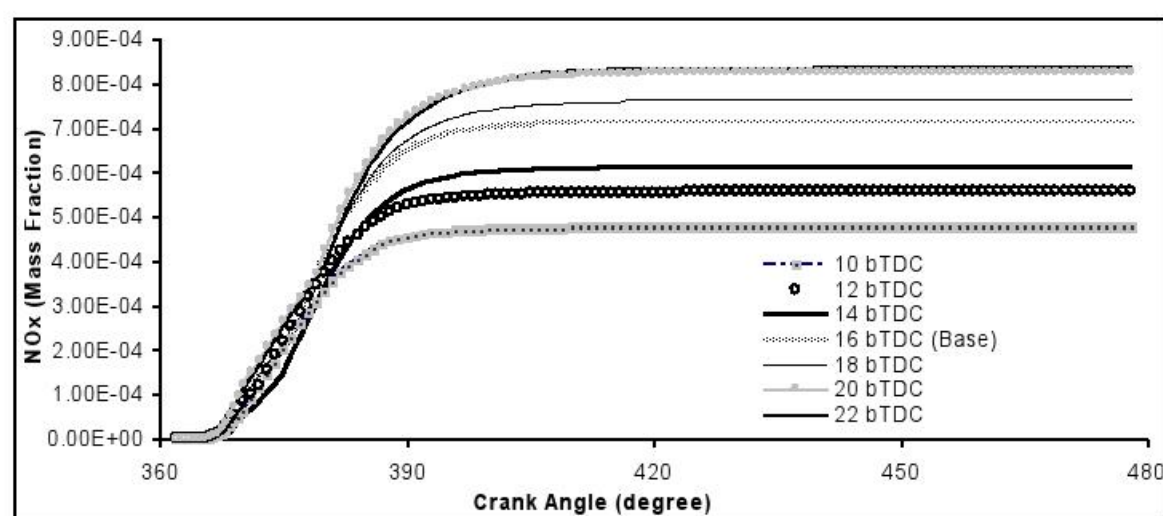
می‌شود با ریتارد کردن تزریق سوخت، مقدار آلاینده NO_x به طور قابل توجهی کاهش می‌یابد. از طرف دیگر مقدار soot در اثر کاهش دما افزایش می‌یابد. چون در نرم افزار FIRE میزان آلاینده‌ها به صورت کسر جرمی آلاینده در کل محصولات می‌دهد، با استفاده از رابطه زیر می‌توان آن را به واحد گرم بر کیلووات ساعت تبدیل نمود به طوری که قابل مقایسه با مقادیر تجربی با همین واحد باشد.

$$\text{NO}_x [\text{gr / kW} \cdot \text{hr}] = 30n \times \frac{m_{\text{tot}} [\text{gr}] \times y_{\text{NO}_x} [-]}{P_b [\text{kW}]} \times \omega \left[\frac{\text{rev}}{\text{min}} \right] \quad (37)$$

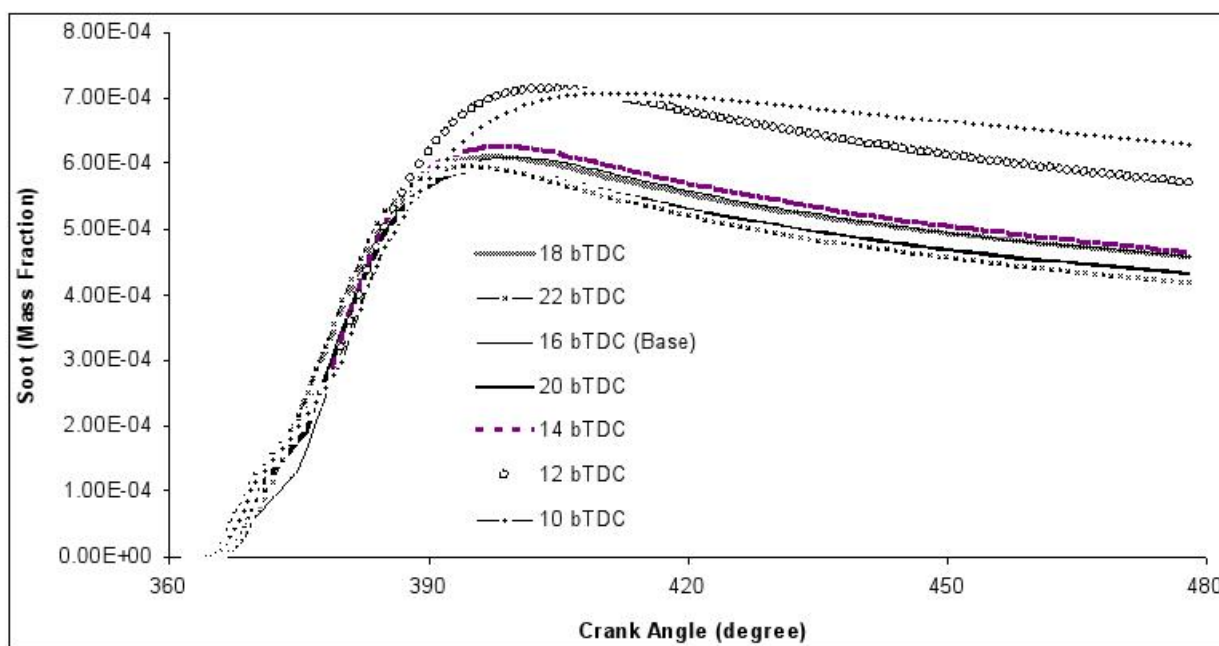
آلاینده‌های NO_x و soot را برای زمان‌های تزریق مختلف نشان می‌دهد. با توجه به شکل، با افزایش آوانس تزریق و درنتیجه افزایش دمای احتراق، میزان NO_x تولید شده افزایش می‌یابد. این رفتار را می‌توان با استفاده از مکانیزم زلدوبیج توجیه نمود. بدین صورت که با افزایش دما، واکنش‌های مکانیزم زلدوبیج در جهت رفت پیشرفت می‌کنند. دلیل این امر وابستگی شدید آهنگ پیشرفت واکنش‌های مکانیزم زلدوبیج به دما است. همانطور که می‌دانیم این دو آلاینده اثر متقابل روی همدیگر دارند یعنی با افزایش یکی دیگری کاهش می‌یابد. همانطور که ملاحظه



شکل (۶) تغییرات فشار داخل سیلندر بر حسب زاویه میل لنگ در زمان‌های مختلف تزریق.

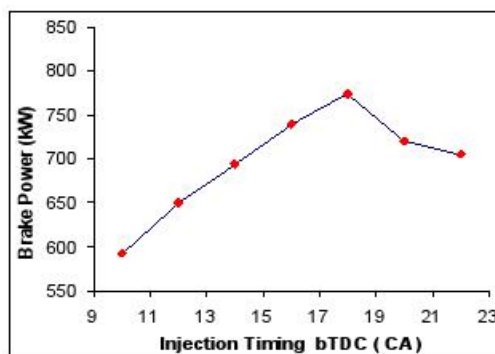


شکل (۷) تغییرات آلاینده NO_x برای زمان‌های مختلف تزریق.

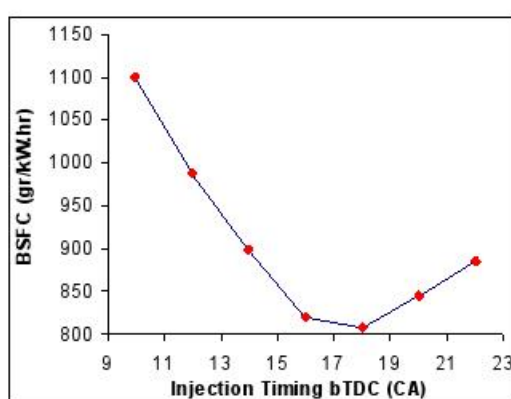


شکل (۸) تغییرات آلاتینده soot برای زمان‌های مختلف تزریق.

احتراق، توان ترمزی، مصرف سوخت و پیوسته، آلاتینده‌های NO_x و soot را برای زمان‌های مختلف تزریق سوخت نشان داده و با حالت استاندارد موتور بررسی می‌نماید.



شکل (۹) تغییرات توان در زمان‌های مختلف تزریق.



شکل (۱۰) میزان مصرف سوخت در زمان‌های مختلف تزریق.

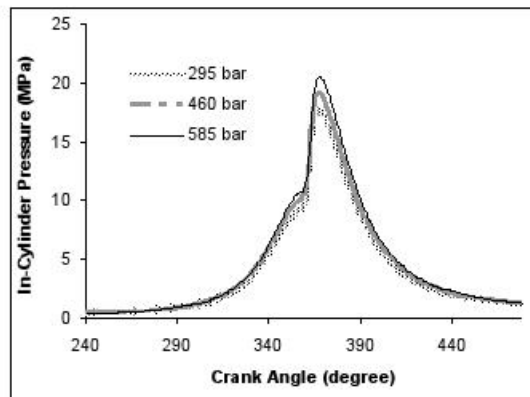
شکل (۹) تغییرات توان را در زمان‌های مختلف تزریق سوخت نشان می‌دهد. همانطور که انتظار می‌رود توان موتور با افزایش آوانس تزریق سوخت، افزایش می‌یابد. زیرا با آوانس کردن، سوخت بیشتری قبل از شروع احتراق تبخیر می‌شود. درنتیجه آهنگ آزادشدن انرژی در فاز احتراق پیش مخلوط افزایش یافته و درنهایت فشار افزایش می‌یابد و همین عامل باعث افزایش گشتاور ترمزی و توان ترمزی می‌شود. همانطور که در شکل دیده می‌شود آوانس بیش از ۲۲ درجه قبل از نقطه مرگ بالا، باعث افت توان و افزایش مصرف سوخت می‌شود. علت آن است که مقدار زیادی از انرژی در حین مرحله تراکم آزاد شده و درنتیجه مقاومت گازهای سوخته شده در مقابل حرکت پیستون افزایش می‌یابد و همین عامل باعث کاهش کار انجام شده توسط گازهای سوخته شده بر روی پیستون می‌شود. همانطور که بیان شد زمان تزریق در حالت پایه برای موتور دیزلی مورد بررسی در ۱۶ bTDC است در حالیکه با توجه به شکل (۱۰)، مصرف سوخت موتور در این حالت نسبت به حداقل مقدار خود که در ۱۸ bTDC اتفاق می‌افتد افزایش می‌یابد. بتایراین عملکرد فعلی موتور که در این نقطه کار می‌کند مناسب نیست. در صورتیکه اگر پاشش سوخت در ۱۸ bTDC اتفاق بیفتد، آلاتینده NO_x افزایش و آلاتینده soot کاهش می‌یابد و در این حالت مصرف سوخت نیز کمتر می‌شود. جدول (۵)، مقادیر بیشینه فشار حاصل از

جدول (۵) مقادیر پارامترهای عملکردی و آلاینده‌های برای زمان‌های مختلف تزریق سوخت.

دوده (g/kW-hr)	اکسیدهای نیتروژن (g/kW-hr)	صرف سوخت (g/kW-hr)	توان ترمزی (kW)	بیشینه فشار سیلندر (MPa)	پارامترهای عملکردی	
					زمان تزریق	۱-۶ TDC
۰/۶۸۰	۶/۱۰۹	۱۱.۴/۲۹۶	۵۹۲	۱۴/۹۴		
۰/۶۵۶	۶/۱۲۷	۹۸۸/۹۷۹	۶۵	۱۵/۶۴		۱۲b TDC
۰/۶۴۴	۶/۲۲۵	۹.۱/۴۵۵	۶۹۵	۱۶/۵۲		۱۴b TDC
۰/۶۲۰	۶/۳۴۰	۸۲۰/۱۰۵	۷۴	۱۷/۱		۱۶b TDC (پایه)
۰/۶۱۶	۶/۳۴۶	۸.۸/۷۲۷	۷۸۵	۱۷/۸۶		۱۸b TDC
۰/۶۱۱	۷/۲۸۸	۸۴۵/۴۸۴	۷۲	۱۸/۱۵		۲-۶ TDC
۰/۶۰۵	۷/۴۷۴	۸۸۷/۷۳۹	۷۰۵	۱۸/۹		۲۲b TDC

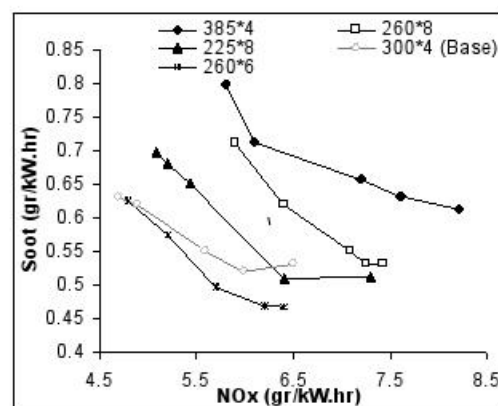
شکل (۱۲) اثر فشارهای مختلف پاشش سوخت بر تغییرات فشار داخل سیلندر را نشان می‌دهد. همانطور که مشاهده می‌شود با افزایش فشار پاشش سوخت، میزان فشار بیشینه داخل سیلندر افزایش می‌یابد. در موتورهای دیزلی تزریق مستقیم، سرعت هوا در محفظه احتراق نسبتاً پایین است و مخلوط شدن سوخت و هوا معمولی است. بنابراین اگر سوخت با فشار زیاد به درون محفظه احتراق تزریق شود مخلوط شدن به صورت قابل توجهی افزایش می‌یابد.

شکل (۱۳) تغییرات آلاینده NO_x را بر حسب زاویه میل لنگ، برای فشارهای مختلف تزریق نشان می‌دهد همانطور که ملاحظه می‌شود با افزایش فشار تزریق، NO_x افزایش می‌یابد و این بدان علت است که کسر احتراق پیش مخلوط با افزایش فشار تزریق زیاد می‌شود. برای بررسی اثر زاویه پاشش روی آلاینده‌های خروجی موتور، پنج نوع نازل با زاویه پاشش ۱۵۵، ۱۵۰، ۱۴۵ (حالت پایه)، ۱۴۰ و ۱۳۰ درجه در فشار تزریق ۱۹۵ بار در نظر گرفته شده است.

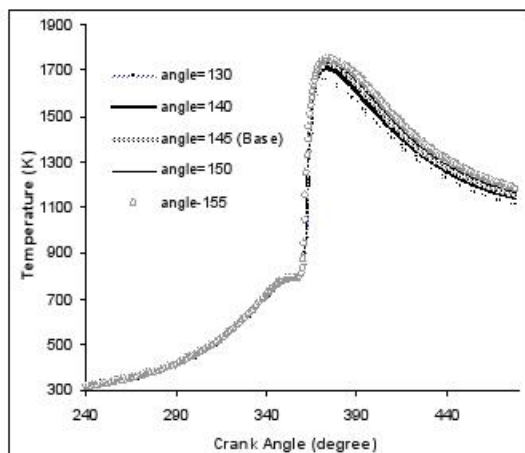


شکل (۱۲) تغییرات فشار داخل سیلندر برای فشارهای مختلف پاشش سوخت.

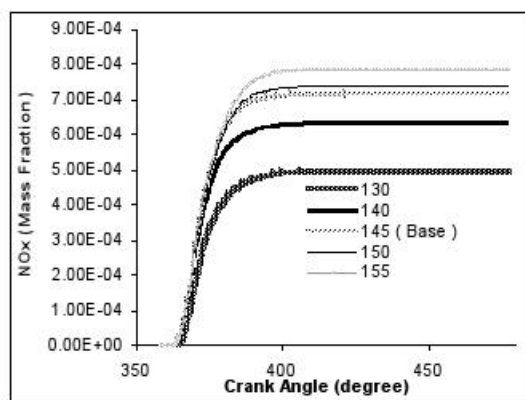
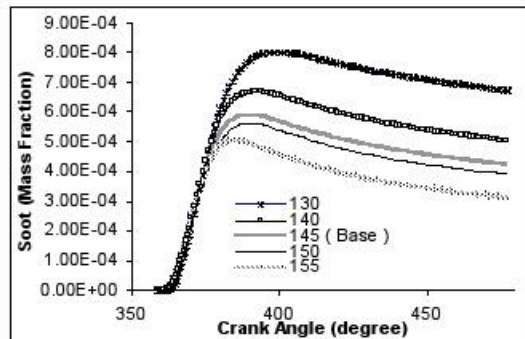
لازم به یادآوری می‌باشد که متضطرور از عبارت ۱۶ b TDC این است که شروع پاشش سوخت در نقطه ۱۶ درجه قبل از نقطه مرگ بالا اتفاق می‌افتد. در شکل (۱۱) نیز تغییرات آلاینده NO_x در مقابل SOot برای نازل‌های مختلف آورده شده است. همانطور که ملاحظه می‌شود با نازل 260×6 (۶ تعداد سوراخ‌های نازل و 260 قطر سوراخ نازل بر حسب μm ، نسبت به دیگر نازل‌ها آلاینده کمتری ایجاد می‌شود و این امر نشان می‌دهد که این نازل با شکل محفظه احتراق مطابقت دارد. لازم به ذکر است که پنج نازل با پیکربندی 385×4 ، 385×6 ، 300×4 ، 260×8 و 260×6 انتخاب شده است که در آن نازل 300×4 بر روی موتور نصب شده است. انتخاب‌های بعدی بر اساس نازل‌های موجود است. باید توجه داشت چون سطح مقطع نازل‌های انتخاب شده با هم برابر نیستند. فرض می‌شود که ضریب تخلیه نازل‌های مذکور یکسان باشند. بنابراین برای اینکه نرخ تخلیه سوخت در شرایط عملکرد برای نازل‌های مختلف یکسان باشد باید طول تزریق سوخت تغییر کند.



شکل (۱۱) تغییرات آلاینده‌ها برای نازل‌های مختلف.

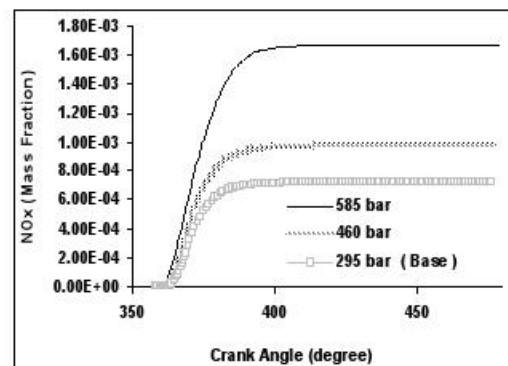


شکل (۱۴) تغییرات دمای سیلندر برای زوایای پاشش مختلف.

شکل (۱۵) تغییرات آلاینده NO_x برای زوایای پاشش مختلف.

شکل (۱۶) تغییرات آلاینده soot برای زوایای پاشش مختلف.

با توجه به کانتورهای دما و نسبت هم ارزی حاصل از نتایج شبیه‌سازی مشاهده می‌شود که تولید دوده بیشتر در مناطق با نسبت هم ارزی $1/5$ تا $2/5$ و بازه دمایی 1600 تا 2100 کلوین تشکیل می‌شود. دوده در منطقه نوک اسپری جت تشکیل و انباسته می‌شود. سوخت تزریقی با مومنتوم بالا به داخل منطقه غنی و دمای نسبتاً پایین در نوک جت نفوذ و به طور پیوسته منطقه غنی را شارژ و تولید دوده می‌کند.

شکل (۱۳) تغییرات آلاینده NO_x برای فشارهای مختلف پاشش.

شکل (۱۴) تغییرات دمای داخل سیلندر بر حسب زاویه میل لنگ را برای زوایای مختلف پاشش نشان می‌دهد. همانطور که مشاهده می‌شود دمای داخل سیلندر برای نازل‌های با زاویه پاشش 150° و 155° درجه بیش از نازل‌های دیگر است و همین عامل باعث افزایش ناچیز آلاینده NO_x و کاهش soot شده است.

شکل (۱۵) و (۱۶) تغییرات آلاینده‌های NO_x و soot را بر حسب زاویه میل لنگ، برای زوایای مختلف پاشش نشان می‌دهد. همانطور که ملاحظه می‌شود مقدار آلاینده soot با نازل 150° درجه نسبت به نازل‌های دیگر کمتر است و هم چنین مقدار آلاینده NO_x کمی افزایش یافته است. شکل (۱۷) کانتورهای رنگی نسبت هم ارزی، دمای داخل سیلندر، NO_x و اکسیژن در لحظه 50° درجه میل لنگ پس از نقطه مرگ بالا را برای حالت پهپایه پیشنهادی (پاشش سوخت 18 bTDC ، 260×6 نازل 295 bar ، زاویه پاشش 150° درجه) نشان می‌دهد. بررسی کانتورهای دما، نسبت هم ارزی و آلاینده NO_x بدست آمده از نتایج شبیه سازی نشان می‌دهند که در مناطق با نسبت هم ارزی برابر با یک (مخلوط استوکیومتریک) و دمای مناطق بالای 2000 کلوین، اکسید نیتروژن بیشترین مقدار می‌باشد. با دقت در کانتورهای دوده و اکسیژن مشاهده می‌شود که در محل‌هایی که تولید دوده بیشینه است اکسیژن موجود به اندازه کافی نمی‌باشد تا احتراق کامل صورت گیرد.

با دقت در کانتورهای فوق به نتیجه مهم دیگر پی می‌بریم و آن رفتار متضاد بین محل‌های تشکیل soot و NO_x است. این دو آلاینده در طرفین نقاط دما بالا داخل سیلندر تشکیل می‌شوند. NO_x در منطقه فقریر ناحیه دما بالا و دوده در منطقه غنی ناحیه دما بالا تشکیل می‌شود.

با افزایش آوانس تزریق سوخت، افزایش فشار بیشینه احتراق رخ می‌دهد؛ به طوری که آوانس تزریق سوخت به میزان ۶ درجه زاویه لنگ نسبت به حالت استاندارد موتور، افزایش فشار بیشینه در حدود $9/3$ درصد را درپی دارد.

نازل نصب شده بر روی این موتور دارای زاویه افشاره ۱۴۵ درجه است. در این مطالعه مشخص شد که با استفاده از نازل با زاویه پاشش ۱۵۰ درجه، درصد کاهش آلاینده soot بیش از درصد افزایش NO_x است. لذا استفاده از این نازل بهینه می‌باشد.

۵- فهرست علائم

DI = direct injection;

NO_x = nitrogen oxides;

CO = carbon monoxide;

HC = hydro carbon;

BSFC = brake specific fuel consumption;

IVC = inlet valve closing;

EVO = exhaust valve opening;

CA = crank angle;

TDC = top dead center;

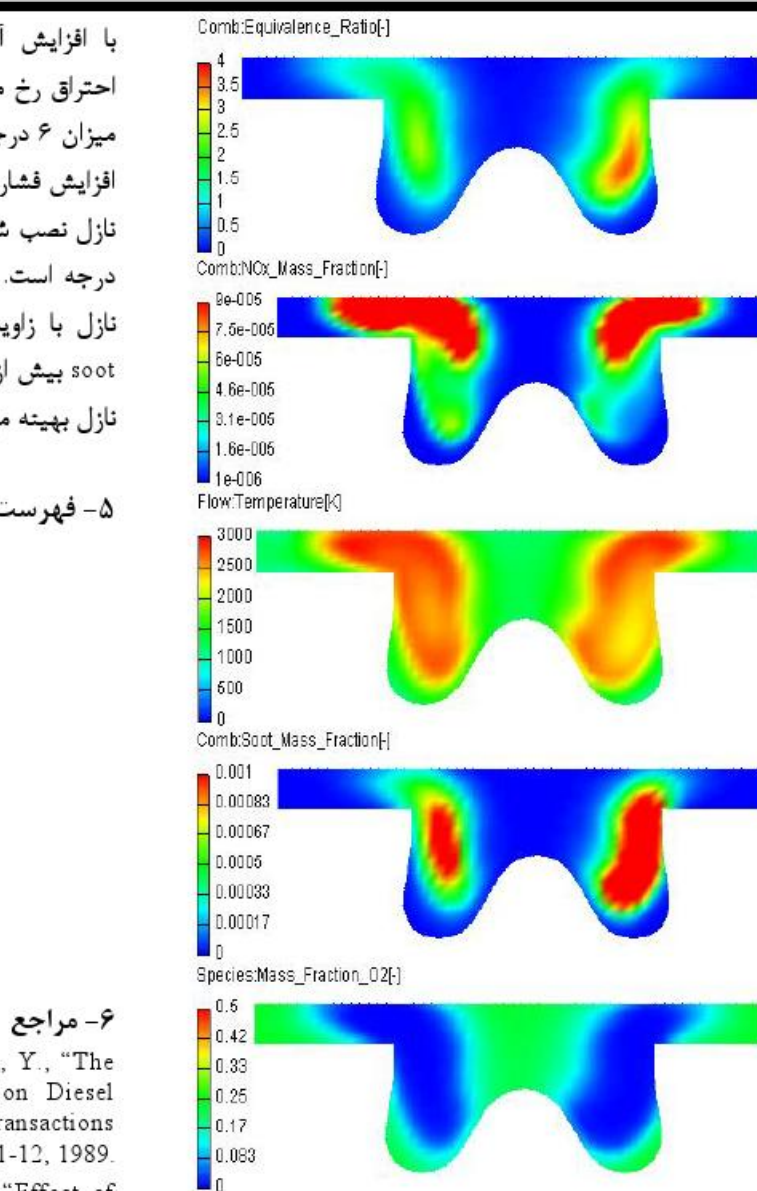
BDC = bottom dead center;

aBDC = after bottom dead center;

aTDC = after top dead center;

bTDC = before top dead center;

CFD = computational fluid dynamics



شکل (۱۷) گانتورهای به ترتیب از بالا به پایین، نسبت هم ارزی، دمای داخل سیلتدر، NO_x و اکسیژن برای حالت پیشنهادی در ۲۰ aTDC.

۶- نتیجه‌گیری

همانطور که مشاهده شد موتور دیزلی مورد بررسی، با زمان تزریق ۱۶ bTDC و طول تزریق ۱۸ CA کار می‌کند. درست است که مقدار آلاینده NO_x با این زمان تزریق کمتر است ولی میزان مصرف سوخت موتور نسبت به bTDC(۱۸ CA) افزایش یافته است. بتایراین اگر زمان تزریق سوخت آوانس شود مصرف سوخت موتور بهبود می‌یابد. البته مقدار آلاینده NO_x کمی افزایش می‌یابد که این مقدار افزایش را می‌توان با استفاده از مبدل‌های کاتالیزوری کاهش داد.

- [6] Spalding, D. B. "Combustion and Mass Transfer". Oxford: Pergamon Press", Chemie Ingenieur Technik, Vol.52, No. 1, p.87, 1979.
- [7] CFD AVL FIRE Software, "Part: Species Transport", 2008.
- [8] Magnussen. B. F., and Hjertager. B. H., "On Mathematical Modeling of Turbulent Combustion with Special Emphasis on Soot Formation and Combustion", 16th International Symposium on Combustion. Pittsburgh: The Combustion Institute, Vol. 16, No.1, pp.719-729, 1977.
- [9] Halstead. M., Kirsch. L., and Quinin. C., "The Auto Ignition of Hydrocarbon Fueled at High Temperatures and Pressures-fitting of a Mathematical Model", Combustion and Flame, Vol. 30, pp.45-60, 1977.
- [10] CFD AVL FIRE Software, "part.combustion", 2008.
- [11] Patterson. M. A., and Reitz. R. D., "Modeling the Effect of Fuel Spray Characteristic on Diesel Engine Combustion and Emission", Advances in Multi-Dimensional Modeling, SAE Transactions - Journal of Engines, Vol.107, No.3, pp.1-19, 1998.
- [12] CFD AVL FIRE Software, "part.spray", 2008.
- [13] Dukowicz. J. K., "Quasi-Steady Droplet Change in the Presence of Convection", Los Alamos, New Mexico, USA: Los Alamos Scientific Laboratory, Informal report, 1997.
- [14] Naber. J. D., and Reitz. R. D., "Modeling Engine Spray/Wall Impingement", SAE Transactions Journal of Engines, Vol.97, No.6, 1988.
- [15] Lavoie. G. A., Heywood. J. B., and Keck. J. C., "Experimental and Theoretical Study of Nitric Oxide Formation in Internal Combustion Engines", Combust Science Technology, Vol.1, pp.313-326, 1970.
- [16] Hiroyasu. H., and Nishida. K., "Simplified Three-Dimensional Modeling of Mixture Formation and Combustion in a DI Diesel Engine", SAE Transactions Journal of Engines, Vol.98, No.3, pp.1-21, 1989.
- [17] Patankar. S. V., and Spalding. D. B., "A Calculation Procedure for Heat, Mass and Momentum Transfer in Three-Dimensional Parabolic Flows", International Journal of Heat Mass Transfer, Vol.15, pp.1787-1806, 1972.